

УДК 548.736

**КЛАСТЕРНАЯ САМООРГАНИЗАЦИЯ ИНТЕРМЕТАЛЛИЧЕСКИХ СИСТЕМ: КЛАСТЕРЫ-ПРЕКУРСОРЫ *K3*, *K4*, *K6*, *K12* ДЛЯ САМОСБОРКИ КРИСТАЛЛИЧЕСКИХ СТРУКТУР  $\text{La}_8\text{Ni}_{40}\text{As}_{24}-\text{oP72}$  И  $\text{Ca}_{12}\text{Fe}_{32}\text{Pd}_4\text{As}_{24}-\text{oP72}$**

© 2024 Шевченко В. Я.<sup>1</sup>, Илюшин Г. Д.<sup>2</sup>

<sup>1</sup>Институт химии силикатов им. И. В. Гребенщикова РАН,  
Россия, 199034, Санкт-Петербург, наб. Макарова 2,  
e-mail: shevchenko@isc.nw.ru

<sup>2</sup>Курчатовский комплекс кристаллографии и фотоники (KKиФ)  
НИЦ «Курчатовский институт», 119333, Россия, Москва, Ленинский пр. 59,  
e-mail: ilyushin@mail.ru

Поступила в редакцию 27.06.24

После доработки 8.07.24

Принята к публикации 9.07.24

С помощью компьютерных методов (пакет программ ToposPro) осуществлен комбинаторно-топологический анализ и моделирование самосборки кристаллических структур семейства и  $\text{La}_8\text{Ni}_{40}\text{As}_{24}-\text{oP72}$  ( $V=1069.3 \text{ \AA}^3$ , пр. группа  $Pnma$ ) и  $\text{Ca}_{12}\text{Fe}_{32}\text{Pd}_4\text{As}_{24}-\text{oP72}$  ( $V=1155.89 \text{ \AA}^3$ , пр. группа  $Pnma$ ). Для кристаллической структуры  $\text{La}_8\text{Ni}_{40}\text{As}_{24}-\text{oP72}$  установлены 79 вариантов выделения кластерных структур с числом кластеров  $N=2$  (1 вариант), 3 (18 вариантов), 4 (30 вариантов) и 6 (30 вариантов). Рассмотрен вариант самосборки кристаллической структуры с участием образующих упаковки кластеров-прекурсоров: сдвоенных тетраэдров-димеров  $K6(4a)=0@6(\text{La}_2\text{Ni}_2\text{As}_2)$  и  $K6(4b)=(\text{Ni}_2\text{As}_2\text{Ni}_2)$  с симметрией  $g=-1$ , тетраэдров  $K4=0@4(\text{LaNi}_2\text{As})$ , колец  $K3=0@3(\text{Ni}_2\text{As})$ , атомов-спейсеров  $\text{Ni}7$  и  $\text{As}5$ . Для кристаллической структуры  $\text{Ca}_{12}\text{Fe}_{32}\text{Pd}_4\text{As}_{24}-\text{oP72}$  установлены 93 варианта кластерного представления 3D атомной сетки с числом структурных единиц 2 (2 варианта), 3 (15 варианта), 4 (49 варианта) и 6 (29). Рассмотрен вариант самосборки кристаллической структуры  $\text{Ca}_{12}\text{Fe}_{32}\text{Pd}_4\text{As}_{24}-\text{oP72}$  с участием образующих упаковки кластеров-прекурсоров: сдвоенных тетраэдров-димеров  $K6(4a)=0@6(\text{Ca}_2\text{Fe}_2\text{As}_2)$  с симметрией  $g=-1$ , тетрамеров  $K12(4b)=0@12(\text{CaFe}_2\text{As}_2)_2$  с симметрией  $g=-1$ , тетраэдров  $K4=0@4(\text{CaFe}_2\text{As})$ , кольцо  $K3=0@3(\text{Fe}_2\text{As})$ , атомов-спейсеров  $\text{Pd}$  и  $\text{As}$ . Реконструирован симметрийный и топологический код процессов самосборки 3D структур  $\text{La}_8\text{Ni}_{40}\text{As}_{24}-\text{oP72}$  и  $\text{Ca}_{12}\text{Fe}_{32}\text{Pd}_4\text{As}_{24}-\text{oP72}$  из кластеров-прекурсоров в виде: первичная цепь  $\rightarrow$  слой  $\rightarrow$  каркас.

**Ключевые слова:**  $\text{La}_8\text{Ni}_{40}\text{As}_{24}-\text{oP72}$ ,  $\text{Ca}_{12}\text{Fe}_{32}\text{Pd}_4\text{As}_{24}-\text{oP72}$ , самосборка кристаллической структуры, кластерные прекурсоры  $K3$ ,  $K4$ ,  $K6$ ,  $K12$

**DOI:** 10.31857/S0132665124030019, **EDN:** POJGIY

## ВВЕДЕНИЕ

По данным [1–3] пространственная группа *Pnma*, установлена для 789 двойных соединений  $A_nB_n$ , 2925 тройных соединений  $A_nB_nC_n$  и 886 четверных соединений  $A_nB_nC_nD_n$ . Большие кристаллохимические семейства, содержащие атомы P, As, Sb насчитывают 409, 279, 307 соединений. В таблице 1 приведены все двойные, тройные и четверные соединения с пространственной группой *Pnma* и 72 атомами в элементарной ячейке [4–14].

Тройное соединение  $\text{La}_8\text{Ni}_{40}\text{As}_{24}-oP72$  не имеет кристаллохимических аналогов. Параметры ромбической ячейки:  $a = 11.179 \text{ \AA}$ ,  $b = 3.913 \text{ \AA}$ ,  $c = 24.443 \text{ \AA}$ ,  $V = 1069.3 \text{ \AA}^3$ . Набор элементов точечной симметрии для пространственной группы *Pnma*:  $-1(4a, 4b)$ ,  $m(4c)$ . Последовательность Вайкоффа для 18 кристаллографически независимых атомов имеет вид  $c^{18}$ . Рассчитанные значения координационных чисел атомов La = 19 (1 атом) и 17 (1 атом), Ni = 12 (9 атомов), 13 (1 атом), As = 9 (5 атомов) и 1 (1 атом). Тип каркас-образующих кластеров-прекурсоров, образующих упаковки не известен.

Четверные соединения  $\text{Ca}_{12}\text{Fe}_{32}\text{Pd}_4\text{As}_{24}-oP72$  и  $\text{Ca}_{12}\text{Fe}_{32}\text{Pd}_4\text{P}_{24}-oP72$  образуют кристаллохимическое семейство (табл. 1). Параметры ромбической ячейки  $\text{Ca}_{12}\text{Fe}_{32}\text{Pd}_4\text{As}_{24}-oP72$ :  $a = 26.363 \text{ \AA}$ ,  $b = 3.870 \text{ \AA}$ ,  $c = 11.330 \text{ \AA}$ ,  $V = 1155.90 \text{ \AA}^3$ . Последовательность Вайкоффа для 18 кристаллографически независимых атомов имеет вид  $c^{18}$ . Рассчитанные значения координационных чисел атомов Ca = 16 (1 атом) и 15 (2 атома), Fe = 12 (7 атомов), 13 (1 атом), Pd = 9 (1 атом), As = 9 (3 атома). Тип каркас-образующих кластеров-прекурсоров, образующих упаковки для этой группы соединений, не известен.

В настоящей работе проведен геометрический и топологический анализ кристаллических структур  $\text{La}_8\text{Ni}_{40}\text{As}_{24}-P72$  и  $\text{Ca}_{12}\text{Fe}_{32}\text{Pd}_4\text{As}_{24}-oP72$ . Установлены кластеры-прекурсоры K3, K4, K6, K12, участвующие в самосборке кристаллических структур. Реконструирован симметрийный и топологический код процессов самосборки кристаллических структур из образующих упаковки кластеров-прекурсоров в виде: первичная цепь → слой → каркас.

Работа продолжает исследования [15–18] в области моделирования процессов самоорганизации систем на супраполиэдрическом уровне и геометрического и топологического анализа кристаллических структур с применением компьютерных методов [3].

## МЕТОДИКИ, ИСПОЛЬЗОВАННЫЕ ПРИ КОМПЬЮТЕРНОМ АНАЛИЗЕ

Геометрический и топологический анализ осуществляли с помощью комплекса программ ToposPro [3], позволяющего проводить многоцелевое исследование кристаллической структуры в автоматическом режиме, используя представление структур в виде фактор-графов.

Данные о функциональной роли атомов при образовании кристаллической структуры получены расчетом координационных последовательностей, т.е. наборов чисел  $\{N_k\}$ , где  $N_k$  – число атомов в  $k$ -ой координационной сфере данного атома. В табл. 2 приведено локальное окружение атомов в кристаллической структуре и значения координационных последовательностей атомов для  $\text{La}_8\text{Ni}_{40}\text{As}_{24}-oP72$  и табл. 3 для  $\text{Ca}_{12}\text{Fe}_{32}\text{Pd}_4\text{As}_{24}-oP72$ .

Алгоритм разложения в автоматическом режиме структуры любого интерметаллида, представленного в виде свернутого графа, на кластерные единицы

**Таблица 1.** Двойные, тройные и четверные соединения с пространственной группой *Pnma* и 72 атомами в элементарной ячейке.

Соединение	Группа симметрии	Последовательность Вайкоффа	Параметры ячейки, Å	V, Å <sup>3</sup>
Ce <sub>2</sub> Ni <sub>7</sub> [4]	P m c n	c18	4.877,8.529,29.626	1232.4
SrHg <sub>8</sub> [5]	P n m a	c18	13.328,4.913,26.446	1731.6
LaNi <sub>5</sub> As <sub>3</sub> [6]	P n m a	c18	11.179,3.913,24.443	1069.3
Pb <sub>2</sub> Bi <sub>2</sub> S <sub>5</sub> [7]	P b n m	c18	19.101,23.913,4.061	1854.9
Ca <sub>3</sub> Fe <sub>5</sub> Pd <sub>4</sub> As <sub>6</sub> [8]	P n m a	c18	19.855,3.946,15.343	1202.2
Ca <sub>3</sub> Fe <sub>7</sub> Pd <sub>2</sub> As <sub>6</sub> [8]	P n m a	c18	26.363,3.870,11.330	1155.9
Ca <sub>3</sub> Fe <sub>7</sub> Pt <sub>2</sub> As <sub>6</sub> [8]	P n m a	c18	26.435,3.918,11.345	1174.9
RbNa <sub>8</sub> Ga <sub>3</sub> P <sub>6</sub> [9]	P n m a	c18	22.276,4.695,16.356	1710.5
RbNa <sub>8</sub> Ga <sub>3</sub> As <sub>6</sub> [9]	P n m a	c18	22.843,4.789,16.861	1844.6
Ti <sub>4</sub> Ni Si <sub>4</sub> [10]	P n m a	d3c12	15.639,5.083,12.752	1013.7
Hf <sub>6</sub> Cr <sub>5</sub> Si <sub>7</sub> [11]	P n m a	d3c12	16.385,5.170,13.309	1127.4
Lu <sub>3</sub> MnSn <sub>5</sub> [12]	P n m a	d3c12	18.384,6.003,14.898	1644.1
Tm <sub>3</sub> MnSn <sub>5</sub> [12]	P n m a	d3c12	18.449,6.013,14.933	1656.5
Ca <sub>6</sub> Cd <sub>11</sub> Pt [13]	P n m a	d3c12	18.799,5.986,15.585	1753.9
Sn <sub>8</sub> Co <sub>7</sub> Zn <sub>3</sub> [14]	P n m a	d6c6	12.591, 11.630,8.270	1211.0
K <sub>4</sub> Si <sub>4</sub> Te <sub>10</sub> [15]	P n m a	d5c8	21.258,12.005,10.608	2707.2

основывается на следующих принципах: структура образуется в результате самосборки из нанокластеров-прекурсоров образующих каркас структуры, пустоты в котором заполняют спейсеры; кластеры-прекурсоры занимают высокосимметричные позиции; набор нанокластеров-прекурсоров и спейсеров включает в себя все атомы структуры.

### СИММЕТРИЙНЫЙ И ТОПОЛОГИЧЕСКИЙ КОД (ПРОГРАММА) САМОСБОРКИ КРИСТАЛЛИЧЕСКИХ СТРУКТУР.

Использованный нами метод моделирования кристаллической структуры основан на определении иерархической последовательности ее самосборки в кристаллографическом пространстве. На первом уровне самоорганизации системы определяется механизм формирования первичной цепи структуры из нанокластеров 0-уровня, сформированных на темплатной стадии химической эволюции системы, далее – механизм самосборки из цепи слоя (2-й уровень) и затем из слоя – трехмерного каркаса структуры (3-й уровень).

**Таблица 2.**  $\text{La}_8\text{Ni}_{40}\text{As}_{24}-\text{oP72}$ . Координационные последовательности и локальное окружение атомов в кристаллической структуре.

Атом	Локальное окружение	Координационные последовательности
Ni1	7Ni + 4As + 1La	N1 N2 N3 N4 N5 12 46112 198322
Ni2	5Ni + 4As + 3La	12 50115 196330
Ni3	5Ni + 4As + 3La	12 54103 202323
Ni4	6Ni + 6As + 1La	13 41107 186308
Ni5	5Ni + 4As + 3La	12 48120 204333
Ni6	5Ni + 4As + 3La	12 51106 200326
Ni7	5Ni + 4As + 3La	12 54112 221335
Ni8	5Ni + 4As + 3La	12 52113 219320
Ni9	8Ni + 5As	13 39114 192316
Ni10	5Ni + 4As + 3La	12 51108 204327
As1	7Ni + 2La	9 48108 189322
As2	8Ni + 3La	11 52109 198330
As3	7Ni + 2La	9 45109 192315
As4	7Ni + 2La	9 45107 184322
As5	7Ni + 2La	9 45104 195315
As6	7Ni + 2La	9 45112 211311
La1	12Ni + 7As	19 53114 219344
La2	11Ni + 6As	17 47123 218327

### Кристаллическая структура $\text{La}_8\text{Ni}_{40}\text{As}_{24}-\text{oP72}$

Для  $\text{LaNi}_5\text{As}_3-\text{oP72}$  установлены 79 вариантов выделения кластерных структур с числом кластеров  $N=2$  (1 вариант), 3 (18 вариантов), 4 (30 вариантов) и 6 (30 вариантов) (таблица 4).

Рассмотрен вариант самосборки кристаллической структуры с участием образующих упаковки кластеров-прекурсоров:

сдвоенных тетраэдров  $K6(4a) = 0@6(\text{La}_2\text{Ni}_2\text{As}_2)$  и сдвоенных тетраэдров  $K6(4b) = (\text{Ni}_2\text{As}_2\text{Ni}_2)$  с симметрией  $g=-1$ ,

тетраэдров  $K4 = 0@4(\text{LaNi}_2\text{As})$ ,

кольцо  $K3 = 0@3(\text{Ni}_2\text{As})$ ,

атомов-спейсеров Ni7 и As5 (рис. 1).

*Самосборка слоя  $S_3^2$ .* Образование слоя  $S_3^2$  происходит при связывании первичных цепей

$S_3^1(A) = (K6(4a) + 2\text{Ni}7) + (K6(4b) + 2\text{As}5)$  и

$S_3^1(B) = (K4 + 2 K3) + (K4 + 2 K3)$  (рис. 2).

*Самосборка каркаса  $S_3^3$ .* Каркас формируется при связывании слоев  $S_3^2 + S_3^2$  в направлении оси  $Y$ . Расстояние между двухслойными пакетами определяет длину вектора трансляции  $b = 3.913 \text{ \AA}$  (рис. 2).

**Таблица 3.  $\text{Ca}_{12}\text{Fe}_{32}\text{Pd}_4\text{As}_{24}$ -oP72.** Координационные последовательности и локальное окружение атомов.

Атом	Локальное окружение атома	Координационные последовательности
Ca1	8Fe + 6As+2Pd	N1 N2 N3 N4 N5 16 42116 196310
Ca2	7Fe + 6As+2Pd	15 42107 178295
Ca3	7Fe + 6As+2Pd	15 42110 184299
Fe1	3Ca + 5Fe +4As	12 48 99187 294
Fe2	3Ca + 5Fe +4As	12 48 99187 295
Fe3	4Ca + 4Fe + 4As	12 49108 207305
Fe4	4Ca + 4Fe + 4As	12 49108 204305
Fe5	3Ca + 5Fe + 4As	12 45 92177 282
Fe6	4Ca + 4Fe + 4As	12 47102 191297
Fe7	1Ca + 7Fe + 4As	12 42 88156 263
Fe8	8Fe + 5As	13 39 93163 275
Pd9	6Ca + 3As	9 49 96191 284
As1	4Ca + 4Fe4 + Pd	9 45102 182287
As2	2Ca + 7Fe7	9 41 89166 273
As3	4Ca + 4Fe + 1Pd	9 49104 189296

### Кристаллическая структура $\text{Ca}_{12}\text{Fe}_{32}\text{Pd}_4\text{As}_{24}$ -oP72

Для  $\text{Ca}_{12}\text{Fe}_{32}\text{Pd}_4\text{As}_{24}$  -oP72 значения координационных чисел атомов Значения координационных чисел атомов Ca = 16 (1 атом) и 15 (2 атома), Fe = 12 (7 атомов), 13 (1 атом), Pd = 9 (1 атом), As = 9 (3 атома) (табл. 5).

Для кристаллической структуры  $\text{Ca}_{12}\text{Fe}_{32}\text{Pd}_4\text{As}_{24}$ -oP72 установлены 93 варианта кластерного представления 3D атомной сетки с числом структурных единиц 2 (два варианта), 3 (15 варианта), 4 (49 варианта) и 6 (29) (табл. 5). Рассмотрен вариант самосборки кристаллической структуры  $\text{Ca}_{12}\text{Fe}_{32}\text{Pd}_4\text{As}_{24}$ -oP72 с участием образующих упаковки кластеров-прекурсоров:

димеров K6(4a) = 0@ 6 ( $\text{Ca}_2\text{Fe}_2\text{As}_2$ ) с симметрией –1(4а позиция),  
 тетramerов K12(4b)=0@12( $\text{CaFeFe}_2\text{As}_2$ )<sub>2</sub> с симметрией –1(4b позиция),  
 тетраэдров K4 = 0@4( $\text{CaFe}_2\text{As}$ ), колец K3 = 0@3( $\text{Fe}_2\text{As}$ ),  
 атомов-спейсеров Pd9 и As3.

*Первичные цепи  $S_3^1$ .* Образование первичной цепи  $S_3^1$  -A происходит при связывании димеров K6(4a) с тетрамерами K12 (4b) в направлении оси Z в плоскости XZ (рис. 3). Образование второй первичной цепи  $S_3^1$  -B происходит при связывании тетраэдров K4 с кольцами K3 в направлении оси Z в плоскости XZ с участием атомов-спейсеров Pd9 и As3 (рис. 3).

Расстояние между центрами кластеров K6(4a) в направлении оси Z соответствует значению вектора трансляции  $c = 11.329 \text{ \AA}$  (рис. 3).

*Микрослой  $S_3^2$ .* Образование микрослоя происходит при связывании сдвоенных первичных цепей  $S_3^1$  -A +  $S_3^1$  в направлении оси X в плоскости XZ (рис. 3).

**Таблица 4.**  $\text{La}_8\text{Ni}_{40}\text{As}_{24}$ —oP72. Варианты кластерного представления кристаллической структуры с 2, 3, 4, и 6 структурными единицами. Указан центральный атом полиздрического кластера, число его оболочек (в первой скобке) и количество атомов в оболочке (во второй скобке).

Две структурные единицы
$\text{Ni}4(1)(1@14)$ $\text{Ni}9(1)(1@14)$
Три структурные единицы
$\text{Ni}2(0)(1)$ $\text{Ni}9(1)(1@14)$ $\text{Ni}10(1)(1@12)$ $\text{Ni}2(1)(1@12)$ $\text{Ni}5(1)(1@12)$ $\text{Ni}9(1)(1@14)$ $\text{Ni}2(1)(1@12)$ $\text{Ni}9(1)(1@14)$ $\text{As}3(1)(1@9)$ $\text{Ni}2(1)(1@12)$ $\text{Ni}9(1)(1@14)$ $\text{Ni}10(1)(1@12)$ $\text{Ni}3(1)(1@12)$ $\text{Ni}10(1)(1@12)$ $\text{As}6(1)(1@9)$ $\text{Ni}3(1)(1@12)$ $\text{Ni}4(1)(1@14)$ $\text{As}6(1)(1@9)$ $\text{Ni}3(1)(1@12)$ $\text{Ni}4(1)(1@14)$ $\text{Ni}7(1)(1@12)$ $\text{Ni}3(1)(1@12)$ $\text{Ni}6(1)(1@12)$ $\text{As}6(1)(1@9)$ $\text{Ni}3(1)(1@12)$ $\text{Ni}6(1)(1@12)$ $\text{Ni}7(1)(1@12)$ $\text{Ni}3(1)(1@12)$ $\text{Ni}7(1)(1@12)$ $\text{As}2(1)(1@11)$ $\text{Ni}3(1)(1@12)$ $\text{Ni}7(1)(1@12)$ $\text{Ni}10(1)(1@12)$ $\text{Ni}4(1)(1@14)$ $\text{As}1(1)(1@9)$ $\text{La}2(1)(1@18)$ $\text{Ni}4(1)(1@14)$ $\text{Ni}7(1)(1@12)$ $\text{As}5(1)(1@9)$ $\text{Ni}5(0)(1)$ $\text{Ni}6(1)(1@12)$ $\text{Ni}9(1)(1@14)$ $\text{Ni}5(1)(1@12)$ $\text{Ni}6(1)(1@12)$ $\text{Ni}9(1)(1@14)$ $\text{Ni}5(1)(1@12)$ $\text{Ni}9(1)(1@14)$ $\text{As}4(1)(1@9)$ $\text{Ni}6(1)(1@12)$ $\text{Ni}7(1)(1@12)$ $\text{As}5(1)(1@9)$ $\text{Ni}7(1)(1@12)$ $\text{Ni}10(1)(1@12)$ $\text{As}5(1)(1@9)$
Четыре структурные единицы
$\text{As}1(1)(1@9)$ $\text{As}3(0)(1)$ $\text{As}4(1)(1@9)$ $\text{La}2(1)(1@18)$ $\text{As}1(1)(1@9)$ $\text{As}3(1)(1@9)$ $\text{As}4(0)(1)$ $\text{La}2(1)(1@18)$ $\text{As}1(1)(1@9)$ $\text{As}3(1)(1@9)$ $\text{As}4(1)(1@9)$ $\text{La}2(1)(1@18)$ $\text{Ni}10(1)(1@12)$ $\text{As}1(0)(1)$ $\text{As}5(1)(1@9)$ $\text{As}6(1)(1@9)$ $\text{Ni}10(1)(1@12)$ $\text{As}1(1)(1@9)$ $\text{As}5(1)(1@9)$ $\text{As}6(1)(1@9)$ $\text{Ni}2(1)(1@12)$ $\text{As}1(1)(1@9)$ $\text{As}3(1)(1@9)$ $\text{As}6(1)(1@9)$ $\text{Ni}2(1)(1@12)$ $\text{Ni}10(1)(1@12)$ $\text{As}1(1)(1@9)$ $\text{As}6(1)(1@9)$ $\text{Ni}3(1)(1@12)$ $\text{As}2(0)(1)$ $\text{As}3(1)(1@9)$ $\text{As}6(1)(1@9)$ $\text{Ni}3(1)(1@12)$ $\text{As}2(1)(1@11)$ $\text{As}3(0)(1)$ $\text{As}6(1)(1@9)$ $\text{Ni}3(1)(1@12)$ $\text{As}2(1)(1@11)$ $\text{As}3(1)(1@9)$ $\text{As}6(1)(1@9)$ $\text{Ni}4(1)(1@14)$ $\text{As}1(0)(1)$ $\text{As}5(1)(1@9)$ $\text{As}6(1)(1@9)$ $\text{Ni}4(1)(1@14)$ $\text{As}1(1)(1@9)$ $\text{As}5(0)(1)$ $\text{As}6(1)(1@9)$ $\text{Ni}4(1)(1@14)$ $\text{As}1(1)(1@9)$ $\text{As}5(1)(1@9)$ $\text{As}6(0)(1)$ $\text{Ni}4(1)(1@14)$ $\text{As}1(1)(1@9)$ $\text{As}5(1)(1@9)$ $\text{As}6(1)(1@9)$ $\text{Ni}5(1)(1@12)$ $\text{As}1(0)(1)$ $\text{As}4(1)(1@9)$ $\text{As}5(1)(1@9)$ $\text{Ni}5(1)(1@12)$ $\text{As}1(1)(1@9)$ $\text{As}4(1)(1@9)$ $\text{As}5(1)(1@9)$ $\text{Ni}5(1)(1@12)$ $\text{Ni}6(1)(1@12)$ $\text{As}1(0)(1)$ $\text{As}5(1)(1@9)$

**Таблица 4.** (окончание).

Ni5(1)(1@12) Ni6(1)(1@12) As1(1)(1@9) As5(1)(1@9)
Ni6(1)(1@12) As1(0)(1) As5(1)(1@9) As6(1)(1@9)
Ni6(1)(1@12) As1(1)(1@9) As5(0)(1) As6(1)(1@9)
Ni6(1)(1@12) As1(1)(1@9) As5(1)(1@9) As6(1)(1@9)
Ni7(1)(1@12) As2(0)(1) As4(1)(1@9) As5(1)(1@9)
Ni7(1)(1@12) As2(1)(1@11) As4(0)(1) As5(1)(1@9)
Ni7(1)(1@12) As2(1)(1@11) As4(1)(1@9) As5(1)(1@9)
Ni9(1)(1@14) As2(0)(1) As3(1)(1@9) As4(1)(1@9)
Ni9(1)(1@14) As2(1)(1@11) As3(0)(1) As4(0)(1)
Ni9(1)(1@14) As2(1)(1@11) As3(0)(1) As4(1)(1@9)
Ni9(1)(1@14) As2(1)(1@11) As3(1)(1@9) As4(0)(1)
Ni9(1)(1@14) As2(1)(1@11) As3(1)(1@9) As4(1)(1@9)
Шесть структурных единиц
As1(0)(1) As2(0)(1) As3(0)(1) As4(1)(1@9) As5(1)(1@9) As6(1)(1@9)
As1(0)(1) As2(0)(1) As3(1)(1@9) As4(0)(1) As5(1)(1@9) As6(0)(1)
As1(0)(1) As2(0)(1) As3(1)(1@9) As4(0)(1) As5(1)(1@9) As6(1)(1@9)
As1(0)(1) As2(0)(1) As3(1)(1@9) As4(1)(1@9) As5(1)(1@9) As6(0)(1)
As1(0)(1) As2(0)(1) As3(1)(1@9) As4(1)(1@9) As5(1)(1@9) As6(1)(1@9)
As1(0)(1) As2(1)(1@11) As3(0)(1) As4(0)(1) As5(1)(1@9) As6(1)(1@9)
As1(0)(1) As2(1)(1@11) As3(0)(1) As4(1)(1@9) As5(1)(1@9) As6(1)(1@9)
As1(0)(1) As2(1)(1@11) As3(1)(1@9) As4(0)(1) As5(1)(1@9) As6(0)(1)
As1(0)(1) As2(1)(1@11) As3(1)(1@9) As4(0)(1) As5(1)(1@9) As6(1)(1@9)
As1(0)(1) As2(1)(1@11) As3(1)(1@9) As4(1)(1@9) As5(1)(1@9) As6(0)(1)
As1(0)(1) As2(1)(1@11) As3(1)(1@9) As4(1)(1@9) As5(1)(1@9) As6(1)(1@9)
As1(0)(1) As2(1)(1@11) As3(1)(1@9) As4(1)(1@9) As5(1)(1@9) As6(1)(1@9)
As1(1)(1@9) As2(0)(1) As3(0)(1) As4(1)(1@9) As5(1)(1@9) As6(1)(1@9)
As1(1)(1@9) As2(0)(1) As3(1)(1@9) As4(0)(1) As5(1)(1@9) As6(0)(1)
As1(1)(1@9) As2(0)(1) As3(1)(1@9) As4(0)(1) As5(1)(1@9) As6(0)(1)
As1(1)(1@9) As2(0)(1) As3(1)(1@9) As4(0)(1) As5(1)(1@9) As6(1)(1@9)
As1(1)(1@9) As2(0)(1) As3(1)(1@9) As4(0)(1) As5(1)(1@9) As6(1)(1@9)
As1(1)(1@9) As2(0)(1) As3(1)(1@9) As4(1)(1@9) As5(1)(1@9) As6(0)(1)
As1(1)(1@9) As2(0)(1) As3(1)(1@9) As4(1)(1@9) As5(1)(1@9) As6(0)(1)
As1(1)(1@9) As2(0)(1) As3(1)(1@9) As4(1)(1@9) As5(1)(1@9) As6(1)(1@9)
As1(1)(1@9) As2(1)(1@11) As3(0)(1) As4(0)(1) As5(0)(1) As6(1)(1@9)
As1(1)(1@9) As2(1)(1@11) As3(0)(1) As4(0)(1) As5(1)(1@9) As6(1)(1@9)
As1(1)(1@9) As2(1)(1@11) As3(0)(1) As4(1)(1@9) As5(0)(1) As6(1)(1@9)
As1(1)(1@9) As2(1)(1@11) As3(0)(1) As4(1)(1@9) As5(1)(1@9) As6(0)(1)
As1(1)(1@9) As2(1)(1@11) As3(0)(1) As4(1)(1@9) As5(1)(1@9) As6(1)(1@9)
As1(1)(1@9) As2(1)(1@11) As3(1)(1@9) As4(0)(1) As5(1)(1@9) As6(1)(1@9)
As1(1)(1@9) As2(1)(1@11) As3(1)(1@9) As4(0)(1) As5(1)(1@9) As6(1)(1@9)
As1(1)(1@9) As2(1)(1@11) As3(1)(1@9) As4(0)(1) As5(1)(1@9) As6(0)(1)
As1(1)(1@9) As2(1)(1@11) As3(1)(1@9) As4(1)(1@9) As5(1)(1@9) As6(1)(1@9)
As1(1)(1@9) As2(1)(1@11) As3(1)(1@9) As4(1)(1@9) As5(1)(1@9) As6(0)(1)
As1(1)(1@9) As2(1)(1@11) As3(1)(1@9) As4(1)(1@9) As5(1)(1@9) As6(1)(1@9)
As1(1)(1@9) As2(1)(1@11) As3(1)(1@9) As4(1)(1@9) As5(1)(1@9) As6(0)(1)
As1(1)(1@9) As2(1)(1@11) As3(1)(1@9) As4(1)(1@9) As5(1)(1@9) As6(1)(1@9)

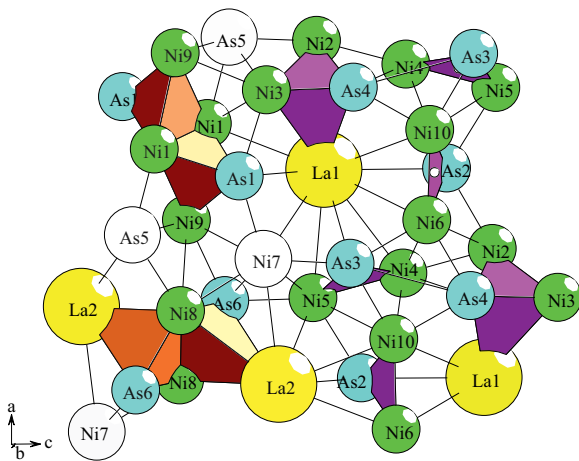


Рис. 1.  $\text{LaNi}_5\text{As}_3$ -oP72. Супракластер

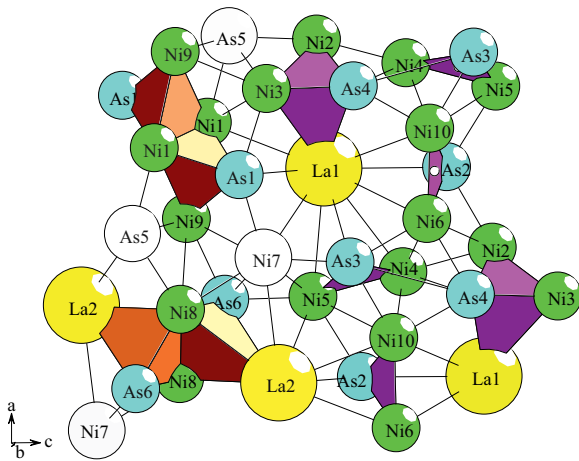


Рис. 2.  $\text{LaNi}_5\text{As}_3$ -oP72. Слой  $S_3^2$  кристаллической структуры (две проекции).

Удвоенное расстояние между осями цепей  $S_3^1$ -A в направлении оси X соответствует значению вектора трансляции  $a = 26.362 \text{ \AA}$ .

Микрокаркас  $S_3^3$ . Микрокаркас структуры формируется при связывании двух микрослоев в направлении оси X. Расстояние между двухслойными пакетами определяет длину вектора трансляции  $b = 3.869 \text{ \AA}$ .

## ЗАКЛЮЧЕНИЕ

Используя метод разложения 3D атомной сетки на кластерные структуры (пакет программ ToposPro) получены данные о комбинаторно возможных типах кластеров участвующих в образовании кристаллической структуры. Для интерметаллида  $\text{LaNi}_5\text{As}_3$ -oP72 рассмотрен вариант самосборки кристаллической структуры

**Таблица 5.  $\text{Ca}_{12}\text{Fe}_{32}\text{Pd}_4\text{As}_{24}\text{-oP72}$ .** Варианты кластерного представления кристаллической структуры. Указан центральный атом кластера (в первой скобке) и количество атомов в оболочке (во второй скобке).

Две структурные единицы
Ca1(1)(1@16) Fe5(1)(1@12)
Ca2(1)(1@15) Fe1(1)(1@12)
Три структурные единицы
Ca1(1)(1@16) Ca2(1)(1@15) As2(1)(1@9)
Ca1(1)(1@16) Ca3(1)(1@15) As4(1)(1@9)
Ca1(1)(1@16) Fe8(1)(1@13) As1(1)(1@9)
Ca2(1)(1@15) Ca3(1)(1@15) As6(1)(1@9)
Ca2(1)(1@15) Fe3(1)(1@12) As2(1)(1@9)
Ca2(1)(1@15) Fe3(1)(1@12) Fe8(1)(1@13)
Ca2(1)(1@15) Fe8(1)(1@13) As5(1)(1@9)
Ca3(1)(1@15) Fe4(1)(1@12) As4(1)(1@9)
Ca3(1)(1@15) Fe4(1)(1@12) Fe8(1)(1@13)
Ca3(1)(1@15) Fe8(1)(1@13) As3(1)(1@9)
Fe1(1)(1@12) Fe5(1)(1@12) As3(1)(1@9)
Fe2(1)(1@12) Fe5(1)(1@12) As5(1)(1@9)
Fe3(1)(1@12) Fe8(1)(1@13) As1(1)(1@9)
Fe4(1)(1@12) Fe8(1)(1@13) As1(1)(1@9)
Fe5(1)(1@12) As6(1)(1@9) Pd9(1)(1@9)
Четыре структурные единицы
As2(1)(1@9) As4(0)(1) As6(1)(1@9) Pd9(1)(1@9)
As2(1)(1@9) As4(1)(1@9) As6(1)(1@9) Pd9(1)(1@9)
Ca1(0)(1) Ca2(1)(1@15) Ca3(1)(1@15) Fe8(1)(1@13)
Ca1(1)(1@16) As1(0)(1) As2(1)(1@9) As4(1)(1@9)
Ca1(1)(1@16) As1(1)(1@9) As2(0)(1) As4(1)(1@9)
Ca1(1)(1@16) As1(1)(1@9) As2(1)(1@9) As4(0)(1)
Ca1(1)(1@16) As1(1)(1@9) As2(1)(1@9) As4(1)(1@9)
Ca1(1)(1@16) Ca2(0)(1) Ca3(1)(1@15) Fe8(1)(1@13)
Ca1(1)(1@16) Ca2(1)(1@15) Ca3(0)(1) Fe8(1)(1@13)
Ca1(1)(1@16) Ca2(1)(1@15) Ca3(1)(1@15) Fe8(0)(1)
Ca1(1)(1@16) Ca2(1)(1@15) Ca3(1)(1@15) Fe8(1)(1@13)
Ca2(1)(1@15) As2(0)(1) As5(1)(1@9) As6(1)(1@9)
Ca2(1)(1@15) As2(1)(1@9) As5(0)(1) As6(1)(1@9)
Ca2(1)(1@15) As2(1)(1@9) As5(1)(1@9) As6(0)(1)
Ca2(1)(1@15) As2(1)(1@9) As5(1)(1@9) As6(1)(1@9)
Ca3(1)(1@15) As3(0)(1) As4(1)(1@9) As6(1)(1@9)
Ca3(1)(1@15) As3(1)(1@9) As4(1)(1@9) As6(0)(1)
Ca3(1)(1@15) As3(1)(1@9) As4(1)(1@9) As6(1)(1@9)

**Таблица 5.** (продолжение).

---

Fe1(0)(1) Fe4(1)(1@12) Fe5(1)(1@12) Pd9(0)(1)  
 Fe1(0)(1) Fe4(1)(1@12) Fe5(1)(1@12) Pd9(1)(1@9)  
 Fe1(1)(1@12) As1(1)(1@9) As3(1)(1@9) As4(1)(1@9)  
 Fe1(1)(1@12) Fe4(0)(1) Fe5(1)(1@12) Pd9(1)(1@9)  
 Fe1(1)(1@12) Fe4(1)(1@12) As1(1)(1@9) As4(1)(1@9)  
 Fe1(1)(1@12) Fe4(1)(1@12) Fe5(1)(1@12) Pd9(0)(1)  
 Fe1(1)(1@12) Fe4(1)(1@12) Fe5(1)(1@12) Pd9(1)(1@9)  
 Fe2(0)(1) Fe3(1)(1@12) Fe5(1)(1@12) Pd9(0)(1)  
 Fe2(0)(1) Fe3(1)(1@12) Fe5(1)(1@12) Pd9(1)(1@9)  
 Fe2(1)(1@12) As1(0)(1) As2(1)(1@9) As5(1)(1@9)  
 Fe2(1)(1@12) As1(1)(1@9) As2(1)(1@9) As5(1)(1@9)  
 Fe2(1)(1@12) Fe3(0)(1) As2(1)(1@9) Pd9(1)(1@9)  
 Fe2(1)(1@12) Fe3(0)(1) Fe5(1)(1@12) Pd9(1)(1@9)  
 Fe2(1)(1@12) Fe3(1)(1@12) As1(1)(1@9) As2(1)(1@9)  
 Fe2(1)(1@12) Fe3(1)(1@12) As2(1)(1@9) Pd9(1)(1@9)  
 Fe2(1)(1@12) Fe3(1)(1@12) Fe5(1)(1@12) Pd9(0)(1)  
 Fe2(1)(1@12) Fe3(1)(1@12) Fe5(1)(1@12) Pd9(1)(1@9)  
 Fe3(1)(1@12) As1(1)(1@9) As2(0)(1) As4(1)(1@9)  
 Fe3(1)(1@12) As1(1)(1@9) As2(1)(1@9) As4(1)(1@9)  
 Fe3(1)(1@12) As2(1)(1@9) As4(1)(1@9) Pd9(1)(1@9)  
 Fe4(1)(1@12) As1(1)(1@9) As2(1)(1@9) As4(0)(1)  
 Fe4(1)(1@12) As1(1)(1@9) As2(1)(1@9) As4(1)(1@9)  
 Fe4(1)(1@12) As2(1)(1@9) As4(0)(1) Pd9(1)(1@9)  
 Fe4(1)(1@12) As2(1)(1@9) As4(1)(1@9) Pd9(1)(1@9)  
 Fe5(1)(1@12) As3(0)(1) As5(1)(1@9) As6(1)(1@9)  
 Fe5(1)(1@12) As3(1)(1@9) As5(0)(1) As6(1)(1@9)  
 Fe5(1)(1@12) As3(1)(1@9) As5(1)(1@9) As6(0)(1)  
 Fe5(1)(1@12) As3(1)(1@9) As5(1)(1@9) As6(1)(1@9)  
 Fe8(1)(1@13) As1(1)(1@9) As3(0)(1) As5(1)(1@9)  
 Fe8(1)(1@13) As1(1)(1@9) As3(1)(1@9) As5(0)(1)  
 Fe8(1)(1@13) As1(1)(1@9) As3(1)(1@9) As5(1)(1@9)

---

## Шесть структурных единицы

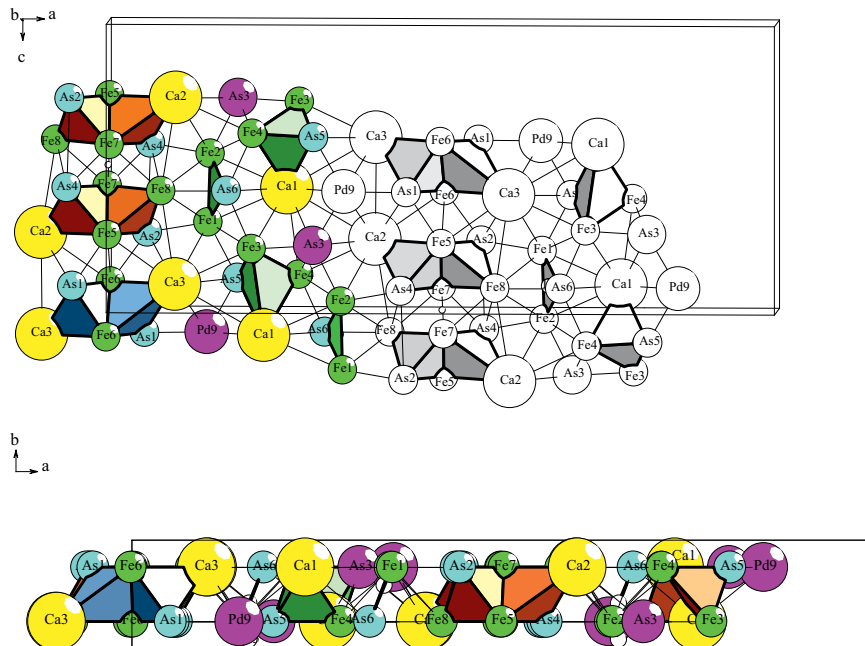
---

As1(0)(1) As2(1)(1@9) As3(0)(1) As4(1)(1@9) As5(1)(1@9) As6(0)(1)  
 As1(0)(1) As2(1)(1@9) As3(0)(1) As4(1)(1@9) As5(1)(1@9) As6(1)(1@9)  
 As1(0)(1) As2(1)(1@9) As3(1)(1@9) As4(0)(1) As5(0)(1) As6(0)(1)  
 As1(0)(1) As2(1)(1@9) As3(1)(1@9) As4(0)(1) As5(0)(1) As6(1)(1@9)  
 As1(0)(1) As2(1)(1@9) As3(1)(1@9) As4(0)(1) As5(1)(1@9) As6(0)(1)  
 As1(0)(1) As2(1)(1@9) As3(1)(1@9) As4(0)(1) As5(1)(1@9) As6(1)(1@9)  
 As1(0)(1) As2(1)(1@9) As3(1)(1@9) As4(1)(1@9) As5(0)(1) As6(0)(1)  
 As1(0)(1) As2(1)(1@9) As3(1)(1@9) As4(1)(1@9) As5(0)(1) As6(1)(1@9)  
 As1(0)(1) As2(1)(1@9) As3(1)(1@9) As4(1)(1@9) As5(1)(1@9) As6(0)(1)

---

**Таблица 5.** (окончание).

As1(0)(1) As2(1)(1@9) As3(1)(1@9) As4(1)(1@9) As5(1)(1@9) As6(1)(1@9)  
 As1(1)(1@9) As2(0)(1) As3(0)(1) As4(1)(1@9) As5(0)(1) As6(1)(1@9)  
 As1(1)(1@9) As2(0)(1) As3(0)(1) As4(1)(1@9) As5(1)(1@9) As6(0)(1)  
 As1(1)(1@9) As2(0)(1) As3(0)(1) As4(1)(1@9) As5(1)(1@9) As6(1)(1@9)  
 As1(1)(1@9) As2(0)(1) As3(1)(1@9) As4(1)(1@9) As5(0)(1) As6(1)(1@9)  
 As1(1)(1@9) As2(0)(1) As3(1)(1@9) As4(1)(1@9) As5(1)(1@9) As6(0)(1)  
 As1(1)(1@9) As2(0)(1) As3(1)(1@9) As4(1)(1@9) As5(1)(1@9) As6(1)(1@9)  
 As1(1)(1@9) As2(1)(1@9) As3(0)(1) As4(1)(1@9) As5(1)(1@9) As6(1)(1@9)  
 As1(1)(1@9) As2(1)(1@9) As3(0)(1) As4(0)(1) As5(0)(1) As6(1)(1@9)  
 As1(1)(1@9) As2(1)(1@9) As3(0)(1) As4(1)(1@9) As5(0)(1) As6(1)(1@9)  
 As1(1)(1@9) As2(1)(1@9) As3(0)(1) As4(1)(1@9) As5(1)(1@9) As6(0)(1)  
 As1(1)(1@9) As2(1)(1@9) As3(0)(1) As4(1)(1@9) As5(1)(1@9) As6(1)(1@9)  
 As1(1)(1@9) As2(1)(1@9) As3(1)(1@9) As4(0)(1) As5(0)(1) As6(0)(1)  
 As1(1)(1@9) As2(1)(1@9) As3(1)(1@9) As4(0)(1) As5(1)(1@9) As6(0)(1)  
 As1(1)(1@9) As2(1)(1@9) As3(1)(1@9) As4(0)(1) As5(1)(1@9) As6(1)(1@9)  
 As1(1)(1@9) As2(1)(1@9) As3(1)(1@9) As4(1)(1@9) As5(0)(1) As6(1)(1@9)  
 As1(1)(1@9) As2(1)(1@9) As3(1)(1@9) As4(1)(1@9) As5(0)(1) As6(0)(1)  
 As1(1)(1@9) As2(1)(1@9) As3(1)(1@9) As4(1)(1@9) As5(1)(1@9) As6(1)(1@9)

**Рис. 3.  $\text{Ca}_{12}\text{Fe}_{32}\text{Pd}_4\text{As}_{24}$ -oP72. Слой  $\text{S}_3^2$  кристаллической структуры (две проекции).**

с участием образующих упаковки кластеров-прекурсоров: сдвоенных тетраэдров  $K6(4a) = 0@6(\text{La}_2\text{Ni}_2\text{As}_2)$  и сдвоенных тетраэдров  $K6(4b) = (\text{Ni}_2\text{As}_2\text{Ni}_2)$  с симметрией  $g = -1$ , тетраэдров  $K4 = 0@4(\text{LaNi}_2\text{As})$ , колец  $K3 = 0@3(\text{Ni}_2\text{As})$ , атомов-спейсеров Ni7 и As5. Для интерметаллида  $\text{Ca}_{12}\text{Fe}_{32}\text{Pd}_4\text{As}_{24}-\text{oP72}$  рассмотрен вариант самосборки кристаллической структуры с участием образующих упаковки кластеров-прекурсоров: димеров  $K6(4a) = 0@6(\text{Ca}_2\text{Fe}_2\text{As}_2)$  с симметрией  $g = -1$ (4а позиции), тетрамеров  $K12(4b) = 0@12(\text{CaFeFe}_2\text{As}_2)_2$  с симметрией  $g = -1$ (4б позиции), тетраэдров  $K4 = 0@4(\text{CaFe}_2\text{As})$ , кольцо  $K3 = 0@3(\text{Fe}_2\text{As})$ , атомов-спейсеров Pd9 и As3. Реконструирован симметрийный и топологический код процессов самосборки  $\text{La}_8\text{Ni}_{40}\text{As}_{24}-\text{oP72}$  и  $\text{Ca}_{12}\text{Fe}_{32}\text{Pd}_4\text{As}_{24}-\text{oP72}$  из кластеров-прекурсоров в виде: первичная цепь → слой → каркас.

Моделирование самосборки кристаллических структур выполнено при поддержке Минобрнауки РФ в рамках выполнения работ по государственному заданию НИЦ «Курчатовский институт», кластерный анализ выполнен при поддержке Российского научного фонда (РНФ № 21–73–30019).

### КОНФЛИКТ ИНТЕРЕСОВ

Авторы данной работы заявляют, что у них нет конфликта интересов.

### СПИСОК ЛИТЕРАТУРЫ

1. Inorganic crystal structure database (ICSD). Fachinformationszentrum Karlsruhe (FIZ), Germany and US National Institute of Standard and Technology (NIST), USA.
2. Pearson's Crystal Data-Crystal Structure Database for Inorganic Compounds (PCDIC) ASM International: Materials Park, OH.
3. Blatov V.A., Shevchenko A. P., Proserpio D. M. Applied Topological Analysis of Crystal Structures with the Program Package ToposPro // Cryst. Growth Des. 2014. V. 14. N7. P. 3576–3585. <https://topospro.com/>
4. Filinchuk Y. E., Yvon K., Emerich H. Tetrahedral D atom coordination of nickel and evidence for anti-isostructural phase transition in orthorhombic Ce2 Ni7 D4. //Inorganic Chemistry. 2007. V. 46. P. 2914–2920
5. Tkachuk A. V., Mar A. In search of the elusive amalgam Sr Hg8: a mercury-rich intermetallic compound with augmented pentagonal prisms. // DALTON TRANS. 2010 V. 39 P. 7132–7135
6. Babizhetzkii V., Guerin R., Simon A. A new ternary arsenide La Ni5 As3: preparation and crystal structure. //Zeitschrift fuer Naturforschung, Teil B. 2004. V. 59. P. 1103–1108
7. Weitz G., Hellner E. Ueber komplex zusammengesetzte sulfidische Erze VII. Zur Kristallstruktur des Cosalits, Pb2 Bi2 S5. // Zeitschrift fuer Kristallographie. 1960. V. 113. P. 385–402
8. Stuerzer T., Hieke C., Loehnert C., Nitsche F., Stahl J., Maak C., Pobel R., Johrendt D. Framework structures of interconnected layers in calcium iron arsenides. // Inorganic Chemistry. 2014. V. 53. P. 6235–6240.
9. He Hua, Tyson Chauntae, Bobev Svilen. Synthesis and crystal structures of the quaternary Zintl phases Rb Na8 Ga3 Pn6 (Pn = P, As) and Na10 Nb Ga As6. // Crystals. 2012. V. 2. P. 213–223
10. Chaia N., Francois M., Mathieu S., Elkaim E., Rouillard F., Vilasi M. Oxidation and crystallographic features of the new prototype structure Ti4 NiSi4. // Intermetallics. 2013. V. 40. P. 1–9.
11. Yarmolyuk Ya.P., Akselrud L. G., Fundamenskii V.S. Crystal structure of Hf6 Cr5 Si7. // Kristallografiya. 1985. V. 30. P. 587–590

12. *Lei Xiaowu, Hu Chunli, Mao Jiang Gao.* Syntheses and crystal structures of RE<sub>3</sub>MnSn(5-x) (RE = Tm, Lu) with 3D Mn-Sn framework. // Journal of Solid State Chemistry Year. 2010. V. 183. P. 2032–2039
13. *Gulo Fakhili, Samal Saroj L., Corbett John D.* Substantial Cd- Cd bonding in Ca<sub>6</sub>PtCd<sub>11</sub>: A condensed intermetallic phase built of pentagonal Cd<sub>7</sub> and rectangular Cd<sub>4</sub>/2 Pt pyramids. // Inorganic Chemistry. 2013. V. 52. P. 10112–118.
14. *Reynolds P.C., Stojanovic M., Lattner S.* Flux growth of a new cobalt – zinc – tin ternary phase Co(7+x) Zn(3-x) Sn<sub>8</sub> and its relationship to Co Sn. // Journal of Solid State Chemistry. 2011. V. 184. P. 1875–1881
15. *Shevchenko V. Y., Medrish I. V., Ilyushin G. D., Blatov V.A.* From clusters to crystals: Scale chemistry of intermetallics. // Structural Chemistry. 2019. V. 30. P. 2015–2027.
16. *Ilyushin G. D.* Intermetallic Compounds  $Na_kM_n$  ( $M = K, Cs, Ba, Ag, Pt, Au, Zn, Bi, Sb$ ): Geometrical and Topological Analysis, Cluster Precursors, and Self-Assembly of Crystal Structures // Crystallography Reports. 2020. V. 65. N4. P. 539–545.
17. *Ilyushin G. D.* Intermetallic Compounds  $K_nM_m$  ( $M = Ag, Au, As, Sb, Bi, Ge, Sn, Pb$ ): Geometrical and Topological Analysis, Cluster Precursors, and Self-Assembly of Crystal Structures // Crystallography Reports. 2020. V. 65. N7. P. 1095–1105.
18. *Ilyushin G. D.* Intermetallic Compounds  $Cs_nM_k$  ( $M = Na, K, Rb, Pt, Au, Hg, Te$ ): Geometrical and Topological Analysis, Cluster Precursors, and Self-Assembly of Crystal Structures // Crystallography Reports. 2022 Vol. 67. Issue 7. P. 1075–1087.